

A g 90 - гасм II

(на самост. обучение)

- 2 модели:
1. Стандарт. об. ба ядер. Основа об. ба. Рез. основы работы генетора
 2. Динамич. об. ба ядер. гасм

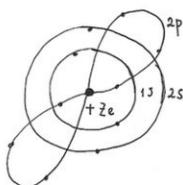
Основа работы ускорителей гасмов

12 загар - 1 модель

2 типор. волн., 1 заг., 1 волн. по синхрон. навигативне
но 5 базов - 25 базов
25 базов
10 д. - носун.

Исп. па:

1. Сибирь м. V, г. II
2. Башкир, Залабовский
"Ядерная физика"
3. Краснодар и Пятигорск "Введение в собр.
физики"
4. Уфимск и Кобан "Ядерная физика"

I Исторические модели структуры ядра

$$r_1 = 0,53 \cdot 10^{-8} \text{ см}$$

1-я Боровский радиус

$$R_a \sim 10^{-13} \text{ см}$$

2 структурные модели.

1. Протонно-электронная модель ядра

Основана на измерении масс ядер - abs. основание для эм. моделей

1919 г. Томсон изобрел масс-спектрометр

Средняя измеренная масса p $m_p = 1836 m_e$

$$z(\text{He}) = 2$$

$$z(\text{Li}) = 3$$

$$z(\text{N}) = 7$$

$$M(\text{He}) = 4 m_p$$

$$M(\text{Li}) = 6 m_p$$

$$M(\text{N}) = 14 m_p$$

Массы ядер
околоэдиска Кратчев
иных масс
протонов

ядро He сочетание из 4p и 2e

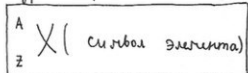
$$Q_a(\text{He}) = +4e - 2e = 2e$$

заряд ядра

ядро Li сочетание из 6p и 3e $Q_a(\text{Li}) = +6e - 3e = 3e$

$$\text{для } N \text{ изом. из } {}^{14}\text{p и } {}^7\text{e}: Q_a(N) = +14e - 7e = 7e$$

Для ядер с массовыми числами A и зарядовыми числами z



A - число

для изоморфных ядер $A-p$ и $(A-z)-e$

$$Q_a = + \frac{Ae}{p} - \frac{(A-z)e}{e} = + ze$$

до 1925 года

p-e модели существовала

2. Ядерная катастрофа

$$Se = \frac{1}{2} - \text{чертёж} \quad 1925 \text{ г.}$$

$$Sp = \frac{1}{2} - \text{чертёж}$$

(чертёж ядерной ямы)

Система, состоящая из ядерного яма
и ядра, соединяется с полужестким соединением
Были учтены члены сочт.

-II - из ядерного - полужесткого

${}^{14}_7 N$ - изом. из ${}^{14}\text{p}$ и ${}^7\text{e} \Rightarrow$ по np-зл. модели сочт. полужесткий

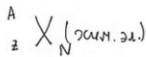
Однако экспериментально полужесткий сочт. оказался - мягкий

2) ядерная с полужестким соединением

до 1932 г. Частные обнаружили N - нейтрон (без ядерного яма)

$$C_6 - ta: M_n \sim M_p \quad Z_n = 0 \quad S = \frac{1}{2}$$

Была брошена гипотеза. например. может $q_{pa} \Rightarrow$ для изоморфных ядер
 Z промежуточных и $A-Z$ нейтронов $A-Z = N$ -



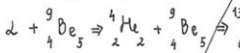
3. Опыт Форда и Беккера. Открытие нейтрона Чадвиком.

(1932г. №р. 1935г.)

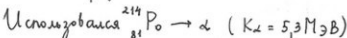


$$R_s \sim 10^{-13} \text{ см}$$

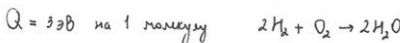
{этой реакции нет}



искусственное радиоактивное испарение



норм. и нейтр. \rightarrow нуклон $A = Z + N$ число нуклонов в ядре



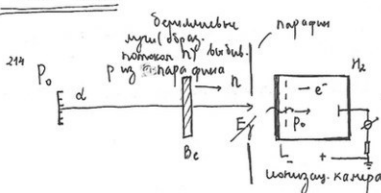
экзотермич. реакция - энд.

экзотермич. реакция - энд.р. $Q = [M({}_{6}^{13}\text{C}_7) - M({}_{2}^{4}\text{He}_2) - M({}_{4}^{9}\text{Be}_5)] c^2$

$|Q| = E_\gamma$ энергия γ -излучения

$$|Q| = E_\gamma = 10,6 \text{ МэВ}$$

Схема опыта:



смп. 23.2 Стартап V-2.

импульс тока на электроде
и параллельно движущимся p
нейтронам нейтронов

Po-протон отгадка

коинцидентное рассеяние на протоне (нейтрон 13 пропущен сенсор)

$$\lambda' - \lambda = \frac{\hbar}{m_p c} (1 - \cos \theta)$$

реализуемая max энергия прот. отгадки
 $\theta = 180^\circ$

$$\lambda' - \lambda = \frac{\hbar}{m_p c} \cdot 2$$

$$\lambda = \frac{hc}{E_\phi} \quad \left| \begin{array}{l} (1) \frac{hc}{E_\phi'} - \frac{hc}{E_\phi} = \frac{2\hbar}{m_p c} \\ (2) E_\phi - E_\phi' = K_p \end{array} \right| \Rightarrow$$

решение системы 2 ур:

$$E_\phi = \frac{K_p}{2} \left(1 \pm \sqrt{1 + \frac{2m_p c^2}{K_p}} \right)$$

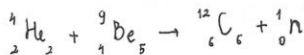
$$K_p = 5,7 \text{ МэВ (экспериментально)} \quad m_p c^2 = 1836 m_e c^2 =$$

$$E_\phi = 55 \text{ МэВ}, \text{ а энергия} \quad = 93,8 \text{ МэВ}$$

реакции получается $10,6 \text{ МэВ}$

реакция Чарбика:

6н. 5 часа - консультация



$$|Q| = 7 \text{ MeV}$$

Энергия усодима на кинетич. эн.
продуктов реакции

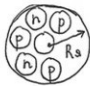
$$K_n \approx 5,7 \text{ MeV}$$

$$K_p \approx 5,7 \text{ MeV} \Rightarrow m_p \approx m_n$$

$$E_d \approx 8 \text{ MeV} \quad (\text{эн. связи нуклонов в ядре})$$

4. Адекватное взаимодействие. Потенциал Дюкара. (1935г. - 11. № 19492.)

$$R_a \approx 10^{-13} \text{ см} \quad U_{\text{Дж}} = \frac{e^2}{R_a} = \frac{(4,8 \cdot 10^{-10})^2}{10^{-13} \cdot 1,6 \cdot 10^{-12}} = 1,5 \cdot 10^6 \text{ eV} = 1,5 \text{ MeV}$$



Энергия взаимодействия (отталкив. эн.) между двумя протонами
одинакова для каждого разстояния от центра ядра.

Адекватное взаимодействие

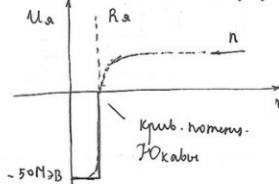
$$U_g^{(1s)} = -U_0 \frac{r_0}{r} e^{-\frac{r}{r_0}}$$

потенц. взаимодействия
применим для
потенциала Дюкара

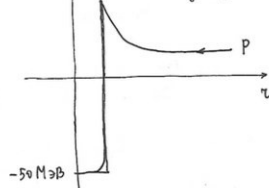
Использование
аналогии

$$U_0 = 50 \text{ MeV} \quad U_a^{(1s)} \Big|_{r=r_0} = -50 \cdot e^{-1} \approx 20 \text{ MeV}$$

$r_0 = 1,4 \cdot 10^{-13} \text{ см}$ (нап-п) радиус сг-ки взаимодействия

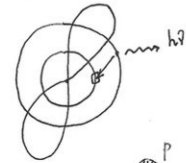


$$U_a = U_{\text{Дж}} \quad (R = R_a)$$



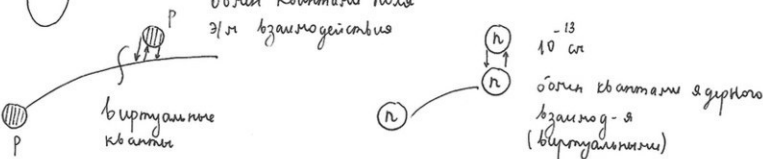
5. Основной заряд атома.

Изображение атома



Система в ведущем состоянии вращения с электронами и ядром. Ядро имеет 2/3 от вращения.

Квантование количества (вращения)



$$M_K = \frac{e^2}{r} \text{ квантовое вращение}$$

(гравитационное)

5. Основные характеристики гравитационного поля

Класс. физ. с постоянной массой

1) Метрика



$$U \sim \frac{m_1 m_2}{r}$$

Правильн. поле

правильн - квадр.

правильн. поле

2) $d = r \text{ a.u.m.}$

$+ze$

$$U_{\text{грав.}} \sim \frac{g_1 g_2}{r}$$

имя - Кулоновское

безразмер. поле означает наследственность формул

Каждому полю соотв. квадр. поле (квадратичное)

общий квадратич. поле соотв. безразмер. поле

аналогичн. форма потенциала
безразмер. поле

$$U_{\text{а.}}^{\text{10}} = - U_0 \frac{\lambda_0}{r} e^{-\frac{r}{\lambda_0}}$$

но - различие гравитации и гравитации света

$$\Delta E \cdot dt \sim h$$

агро
объем вырожденческого
квантового ядерного взаимод.
(масса квазиатом. m_{Kz})

но - неопред. Тайзенберга

$$\Delta E = m_{Kz} \cdot c^2, \quad \Delta t = \frac{h}{m_{Kz} \cdot c^2}$$

if на атомы гравит.
возмущ. в мер. bp. st,

to мер. bp. st кб. разн. между на
расстоян. λ_0

то в них возмущ. неиз.
меньш. упрощены в квадр.

$$\lambda_0 = c \cdot \Delta t = \frac{h}{m_{Kz} \cdot c} \Rightarrow m_{Kz} = \frac{h}{\lambda_0 \cdot c} = \frac{10^{-27}}{1,4 \cdot 10^{13} \cdot 3 \cdot 10^{10}} \approx$$

ΔE

$$\approx 240 \cdot 10^{-27} \text{ J}$$

$$m_e = 0,91 \cdot 10^{-27} \text{ kg} \quad m_{Kz} = \frac{240 \cdot 10^{-27} \text{ J}}{0,91 \cdot 10^{-27} \text{ kg}} = 270 m_e \quad \text{расстояние 30 каба}$$

μ-частица $M_\mu = 207 m_e$

открытие в космич. излуч.

π-частица $M_\pi \approx 270 m_e$

6. Масштаб энергии, расположения и времени в ат. физике

Атом

$$\text{Энергия } 1 \text{ Ry} = 13,6 \text{ эВ}$$

$$\text{расц. } 15. p. = 0,51 \cdot 10^{-8} \text{ см} = 0,51 \text{ Å}$$

$$\text{время вспышки} \sim 10^{-12} \div 10^{-15} \text{ с}$$

Ядро

уменьшена эн. связи нуклона в ядре $\approx 8 \text{ MeV}$

$$10^{-13} \text{ см} = 1 \text{ ферми}$$

$$\Delta t = \frac{\hbar}{270 \text{ MeV} c^2} = \frac{10^{-27}}{270 \cdot 0,91 \cdot 10^{-29} \cdot 9 \cdot 10^{-23}} \approx 10^{-23} \text{ с}$$

II. Основные (атомные) единицы измер.

7. Кlassификация ядер. Заряд ядра и методы эксперим. определения



Ядро с $Z = \text{const}$ наз. изотонами
 ${}_{\underline{1}}^{\underline{1}} H_0, {}_{\underline{1}}^{\underline{2}} H_1, {}_{\underline{1}}^{\underline{3}} H_2$
 ${}_{\underline{2}}^{\underline{3}} He_1, {}_{\underline{2}}^{\underline{4}} He_2$

Ядро с $A = \text{const}$ - изобары
(группы нуклонов)

Ядро с $N = \text{const}$ - изоморфы
(группы нейтронов)

Kласс по расположению нуклонов:

центро-центрические ${}_{\underline{2}}^{\underline{4}} He_2$ - конденсатные ядра 162

центро-периферийные ${}_{\underline{2}}^{\underline{3}} He_1$ - 56

периферийно-центрические ${}_{\underline{7}}^{\underline{13}} N_6$ - 52

периферийно-периферийные ${}_{\underline{7}}^{\underline{14}} N_7$ - 5 $\left[{}_{\underline{1}}^{\underline{2}} H_1, {}_{\underline{3}}^{\underline{6}} Li_3, {}_{\underline{5}}^{\underline{10}} B_5, {}_{\underline{7}}^{\underline{14}} N_7, {}_{\underline{23}}^{\underline{50}} V_{27} \right]$

определение зап. агр.

1) в) расстояния зарядов, токи

$$\text{Результирующее: } B = \frac{\Delta N_p}{N_{\text{наг}}} = n_a \left(\frac{ze^2}{2K_d} \right)^2 \frac{\Delta \Omega}{\sin^4 \theta} , \quad z = \left(\frac{B \cdot \sin^4 \theta}{\Delta \Omega \cdot n_a} \right)^{\frac{1}{2}} \cdot \frac{2K_d}{e^2}$$

$$2) \text{ ф-ла Мозли } h^2 K_d = 10,2 \cdot B(z-1)^2, \quad z = \sqrt{\frac{h^2 K_d}{10,2 \cdot B}} + 1$$

3) Очи- зеродект

$$K_A = (E_{cb}^k - E_{cb}^L) - E_{cb}^L \quad KLL - \text{Очи-электрон}$$

н.3 определение Роз.

$$\frac{eH}{c} = \frac{MAv}{R} \quad v^2 = \frac{2eV_{\text{ых}}}{MA}$$

н.50 прир. ядерной структ.

$$\frac{e^2 H^2 R^2}{c^2 N^2} = MA^2 \quad \frac{e^2 H^2 R^2 M_A}{c^2 e V_{\text{ых}}} = MA^2$$

$$M_A = \frac{e H^2 R^2}{2 c^2 V_{\text{ых}}}$$

Масса агр. Эксперимент. мес. ее измерения

$$\text{Масса агр. измр. б} \quad 1 \text{ а.е.м.} = \frac{1}{12} \text{ Масс.} (^{12}_6 C) \quad 1 \text{ а.е.м.} = 1,66 \cdot 10^{-24} \text{ кг} \Rightarrow$$

$$931,5 \text{ MeV}$$

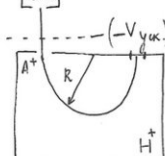
$$\text{Масса агр.} = M_A + Z m_e - E_{cb}^{\text{экспр.}}$$

Масс-спектрометрия или масс-спектрометрия (1919г., 1922 Н. нр.)



$$\left. \begin{array}{l} \text{б/з разр} \\ \text{установка} \\ \text{исследование} \\ \text{излучение} \end{array} \right\} \frac{e \cdot \Delta S \cdot H}{c} = \frac{MA \cdot v^2}{R} \quad \text{yp.-e газор-а}$$

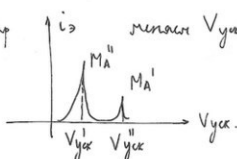
однородное
均匀ное
магн. поле



$$M_A = \frac{e H^2 R^2}{2 c^2 V_{\text{ых}}}$$

if $R = \text{const} \Rightarrow$
Масс-спектрометрия
 $M_A = \frac{e H^2 R^2}{2 c^2} \cdot \frac{1}{V_{\text{ых}}}$

Масс-спектрометрия
и электрометра



8. Massa ageda. Эксперимент. методы и орнг. (излучения) - оконч.

$$M_a = \frac{eH^2 R^2}{2c^2 V_{\text{yuk}}}.$$

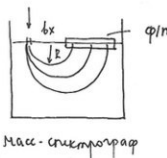
$$R = \text{const}$$

Это тип-е излучен.

$$M_a = B \cdot \frac{1}{V_{\text{yuk}}}.$$

$$M_a = M_a - z(m_e)$$

$$V_{\text{yuk}} = \text{const}$$



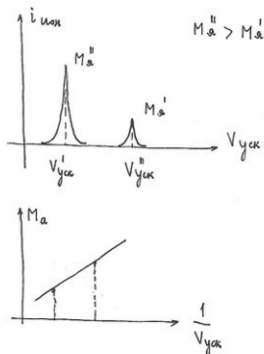
$$M_a = \frac{eH^2}{2c^2 V_{\text{yuk}}} R^2 = A \cdot R^2$$

S_1	S_2
M_a'	M_a''

S - пачисл. излучен. б. естеств. атомов гамма-энергии

Изотопи водорода: ${}^1_1 H_0$, ${}^2_1 H_1$, ${}^3_1 H_2$ - поглощ.

Также: ${}^3_2 He_1$, ${}^4_2 He_2$



49 In $A = 111, 113$

один

50 Sn $A = 112, 114, 115, 116, 117, 118, 119, 120, 122, 124$ 10 сплошных излучен.

51 Sb $A = 123, 125$
одина

9. Massa reakcijon. Эксперимент. методы и орнг. (излучения)

Установ. энерг. баланс реакции фоторасщепл. гелия ${}^2_1 H_1$ (поглощательная)



D

$$Q = K_p + K_n$$

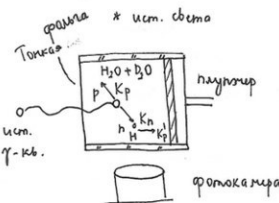
$$\left. \begin{aligned} E_\gamma &= 2,62 \text{ MeV} \\ E_{cb}(D) &= 2,2 \text{ MeV} \end{aligned} \right\} E_\gamma > E_{cb}$$

Энергии. Баланс реакции: $E_\gamma + m(D)c^2 = m_p c^2 + \underbrace{m_n c^2}_{K_n} + K_p + K_n$

Числы называют массу
нейтрона использует.

Канала Вильсона

$$m_n = \frac{1}{c^2} (E_\gamma + m(D)c^2 - m_p c^2 - K_p - K_n)$$



автоматическая конденсация пересыщенного пара на
зарядах

микроволновый детектор

на длине волны опред. K_p - энергия промежука

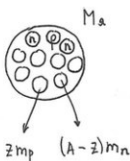
Базальт, Западобережный "Яг. физика" бывшего кинотеатра

K_p' нормирован, ком. расчет на водороде $K_p = K_p' = K_n$

$$K_p' = \frac{4 m_p m_n}{(m_p + m_n)^2} K_n \approx K_p' = K_n \Rightarrow \frac{4 m_p m_n}{(m_p + m_n)^2} \approx 1 \quad \text{коэф. передачи } m_n \approx m_p$$

$$\left. \begin{array}{l} m_p = 1,67(2\sigma) \text{ а.е.н.} \\ m_n = 1,67(4g) \text{ а.е.н.} \end{array} \right\} \underline{m_n > m_p} \quad \text{нейтрон авт. нейтр. образование}$$

10. Энергия связи ядра. Зависимость удельной эн. об. от A (масс. число)



ΔW - энергия связи нуклонов в ядре
одно нуклон разлучают на составляющие, необх.
предварительно эн. об. ΔW

$$\Delta W = [z m_p + (A-z)m_n - M_A] c^2 \quad \boxed{\Delta M = z m_p + (A-z)m_n - M_A} -$$

дискретная масса

$$\Delta W (^4_2 He) = 28 \text{ МэВ}$$

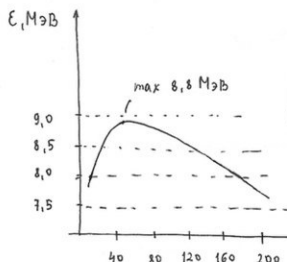
ε - удельная энергия связи на 1 нуклон

$$\Delta W (^{12}_6 C) = 92 \text{ МэВ}$$

$\varepsilon = \frac{\Delta W}{A}$, где A - масс. число $\varepsilon (^4_2 He) = 7 \text{ МэВ}$

$$\varepsilon (^{12}_6 C) = 7,2 \text{ МэВ}$$

График зат-ки уг. энергии нуклона, от массового числа.



$$\bar{E} = 8 \text{ MeV} \quad (\text{средняя энергия всех ядер})$$

$$E = \frac{\Delta W}{A}$$

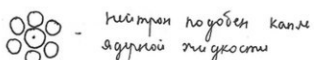
$$\Delta W = \bar{E} A = 8 A \text{ MeV}$$

① Относа счётом вл-ти зерновых
ядерног. Энерг. ядра на 1 нуклон \sim 8 MeV (Ядро зерновое ор. атомное)

② $\Delta W \sim A$ счётом короткодейст. зг. сч.

и комп. нуклонов зерновог. со всеми нуклонами:

$$\Delta W \sim \frac{A(A-1)}{2} \sim A^2$$



Некоторые подобны ядру атомной энергии

На самом деле: $\Delta W \sim A$

Поб. кванты - из-за наличия нейтронов. (из-за)

③ Ядерные зерновог. обсл. св-ли насыщении (вспышками из вл-ти короткодейст.)

④ Яд. синтез иницирует ядерног. зар. зерновог. ядер (не заб-м ом запада)

13.03.12 11. Капельная модель ядра. Полуэмпир. ф-ла Реджисона
для вычисления энергии связи ядра

$$\Delta W = 8 A \text{ MeV} \quad \text{заряд} \quad R_A = r_0 \cdot A^{1/3} \quad r_0 = \lambda_0 = 1.4 \cdot 10^{-13} \text{ см} \quad V_A = \frac{4}{3} \pi r_0^3 A$$

общая связь \sim кол-во нуклонов ↗

Ядро можно описать, в виде капли зг. жидк.

Св-ва зг. жидк:

$$1. \text{ концентр. нуклонов } n = \frac{A}{V_A} = \frac{A}{\frac{4}{3} \pi r_0^3 A} = \frac{1}{\frac{4}{3} \cdot 3,14 \cdot (1,4 \cdot 10^{-13})^3} = 10^{38} \frac{\text{нуклон}}{\text{см}^3}$$

$$2. \text{ плотность зг. жидк. } \rho_A = n \cdot m_N = 10^{38} \frac{\text{нуклон}}{\text{см}^3} \cdot 1,67 \cdot 10^{-24} \frac{2}{\text{нуклон}} = 1,67 \cdot 10^{14} \frac{2}{\text{см}^3} =$$
$$= 1,67 \text{ млн тонн / см}^3$$

11.5. Потенциалы. ф-ла

$$\text{I приблжн. } \Delta W_I = \lambda A, \quad \lambda = \text{const}$$

$$\text{II приблжн. учит поверхности ядерного взаимодействия и нуклонов } E_{\text{ноб}} = 4\pi R_a^2 \cdot 6 = \\ = 4\pi \cdot r_0^2 \cdot A^{2/3} \sigma = \beta \cdot A^{2/3} \quad \beta = 4\pi \cdot r_0^2 \sigma$$

$$\Delta W_{\text{II}} = \lambda A - \beta \cdot A^{2/3}$$

$$\text{III приблжн. учит кулоновского взаимодействия. вхod. в ядра протонов: } E_{pp} = \frac{e}{5} \frac{e^2}{R_a} \\ \text{число ядерных пар } N_{\text{пар}} = \frac{z(z-1)}{2} \quad \text{Энергия взаимодействия 2-x протонов}$$

$$E_{\text{кул}} = \frac{3}{5} \frac{e^2}{R_a} \cdot \frac{z(z-1)}{2} = \left(\frac{3e^2}{5r_0} \right) \cdot A^{1/3} \cdot z^2 \quad \text{ондущим 1 (где ср. и макс-сигр)}$$

$$E_{\text{кул}} = \gamma \cdot \frac{z^2}{A^{1/3}} \quad \boxed{\gamma = \frac{3e^2}{5r_0}} \quad \Delta W_{\text{III}} = \lambda A - \beta A^{2/3} - \gamma \cdot \frac{z^2}{A^{1/3}}$$

IV приблжн. ядра наиболее устойчив. при расчете числа протонов и нейтронов
учит ассиметрии + спиральную ядеру $E_{\text{ассим}} = \frac{(\frac{A}{2} - z)^2}{A} z$

$$z = N = \frac{A}{2} \quad \text{наиб. уст. ядра}$$

$$\Delta W_{\text{IV}} = \lambda A - \beta A^{2/3} - \gamma \cdot \frac{z^2}{A^{1/3}} - 2 \cdot \frac{(\frac{A}{2} - z)^2}{A}$$

V учит парности нуклонов

нен-нен 162

$$E_{\text{пар}} = \begin{cases} +33,5 A^{3/4} & M \geq B \quad \text{нен-нен} \\ 0 & \text{нен-нен, нен-нен} \\ -33,5 A^{3/4} & M \geq B \quad \text{нен-нен} \end{cases}$$

Упр. 53 - 85

нен-нен 56

Валентер - Залоговский

нен-нен 52

нен-нен 5

$$\Delta W_{\text{V}} = \lambda A - \beta A^{2/3} - \gamma \cdot \frac{z^2}{A^{1/3}} - 2 \cdot \frac{(\frac{A}{2} - z)^2}{A} + E_{\text{пар}}(A) \quad \Delta W = [z m_p + (A-z)m_n - M_A] c^2$$

$$M_A = z m_p + (A-z)m_n - \frac{\Delta W}{c^2}$$

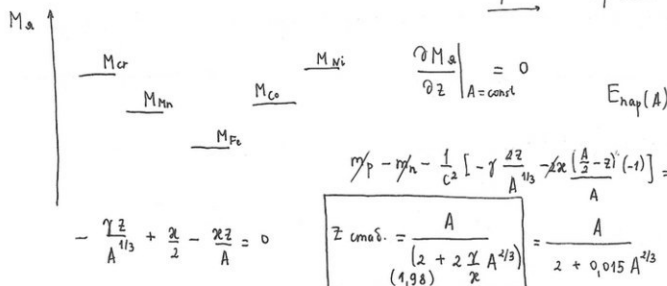
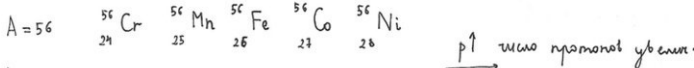
$$M_A^T = z m_p + (A-z)m_n - \frac{1}{c^2} [\lambda A - \beta A^{2/3} - \gamma \cdot \frac{z^2}{A^{1/3}} - 2 \cdot \frac{(\frac{A}{2} - z)^2}{A} + E_{\text{пар}}]$$

$$M_A^{\text{спр.}} (z, A) \rightarrow M_A^T$$

модиф. масса ядра

$$\left. \begin{array}{l} d = 14 M_B \\ g = 13 M_B \\ \gamma = 0,75 M_B \\ \vartheta = 100 M_B \end{array} \right\} \text{znach. const gue hauyymens cornerob. } M_a^3 \text{ u } M_g^T$$

12. Определение смешанного изобара ($A = \text{const}$)



13. Равн. агр. Эксперим. можно ли опр.

$$R_a = r_0 \cdot A^{1/3} \quad \text{Опред. по угл. экспериментов} \quad \gamma = \frac{3}{5} \frac{e^2}{r_0} \quad \gamma = 0,75 M_B$$

$$r_0 = \frac{3e^2}{5\gamma} = \frac{3 \cdot 4,8 \cdot 10^{-20}}{5 \cdot 0,75 \cdot 10^6 \cdot 1,6 \cdot 10^{-12}} = \frac{3 \cdot 23}{8 \cdot 0,75} \cdot 10^{-14} \approx 1,3 \cdot 10^{-13} \text{ см} ?$$

Проверка
(1,45)

По-другому опред. агр. сущ. определяем r_0

r_0 - опред. равн. радиус R_a

13. Радиус зоны. Эксперимент. методы его изучения. (r_0)

$$R_s = r_0 \cdot A^{1/3}$$

1) Из анализа нейтронов. ф-ли Венделера: $\gamma = \frac{3}{5} \frac{e^2}{r_0}$, $r_0 = 1,15 \cdot 10^{-13}$ см

2) Из расс-я быстрых нейтронов (н.2 определ. Леппага)

$$N = N_0 \cdot e^{-\lambda x}, \quad \lambda = h \sigma; \quad \sigma = 2\pi R_s^2$$

$$K_h = 14 - 25 \text{ MeV} \Rightarrow \lambda_h = \frac{h}{\sqrt{2m_n K_h}} = \frac{6,6 \cdot 10^{-29}}{\sqrt{2 \cdot 1,66 \cdot 10^{-24} \cdot 20 \cdot 10^6 \cdot 1,6 \cdot 10^{-12}}} = 6 \cdot 10^{-13} \text{ cm}$$

дифр. граунафера $\rightarrow \sigma = 2\pi R_s^2 \quad \lambda = h \cdot 2\pi \cdot R_s^2 \quad \ln \frac{N_0}{N} = 2\pi R_s^2 \cdot x$

$$R_s = \sqrt{\frac{1}{2\pi x \ln \frac{N_0}{N}}}$$

$$r_0 = 1,4 \cdot 10^{-13} \text{ см}$$

Это радиус зоны
из. сущ.



r_0 - радиус зоны
материала $r_0 = 1,15$

r_0 - радиус зоны из. сущ.
см $r_0 = 1,4$

Нейтроны из. сущ. радиус зоны из. сущ. из. сущ.

14. Рассеяние релятивистских электронов (Хорнштейн, 1961г.)

Максимум элекр. ускор. $K_e = 1 \text{ ГэВ}$

Исследован abs. дифр. элекр. (у- β р.) beam на зонах



$$K_e = p_e c \quad \lambda_e = \frac{hc}{K_e} = \frac{1240}{1,10^9 \text{ ГэВ}} = 1,2 \cdot 10^{-13} \text{ см}$$

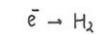
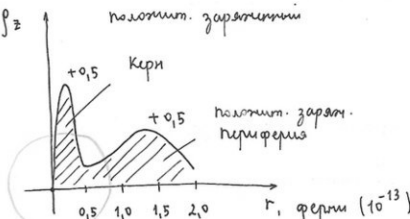
$$d \sin \theta = n \lambda$$

$$1-\text{ю max}: 2R_s \sin \theta = \lambda_e \quad R_s \sim \frac{\lambda_e}{2\theta} \quad (\sin \theta \sim \theta)$$

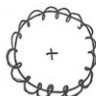
$$r_0 = 1,1 \cdot 10^{-13} \text{ см}$$

это не из. сущ. из. сущ. зоны

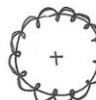
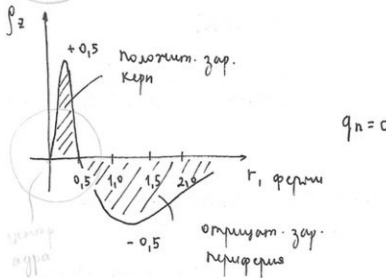
14.8. Распределение заряда в нуклонах (p, n)



$$q_p = +1e$$



π^+ -мезон



π^- -мезон

ρ_z - отрицат. положит. заряда

Модуль



15. Магнитный момент

$$I = \frac{e}{2m_e c} (m_e \omega r_c^2) = \frac{e}{2m_e c} L_{Kb}$$

$$M_{Kb} = \frac{e}{2m_e c} L_{Kb}, \quad L_{Kb} = \sqrt{\ell(\ell+1)} \cdot \tau$$

$$M_t = \left(\frac{et}{2m_e c} \right) \sqrt{\ell(\ell+1)} \quad \ell - \text{орбит. кв. число}$$

$$M_B = \frac{et}{2m_e c} - \text{магнит. Бора}$$

лг. измер. атомного магнетизма

$$I = e \frac{\omega}{2\pi c} \cdot \pi r_0^2 \cdot \frac{m_e}{m_e}$$

$$\vec{M}_{Kb} = \vec{B} \cdot \frac{\vec{I}}{c}$$

ω - круг. разм.

B - вектор магн. момен.
на кончике тока

I - круг. ток

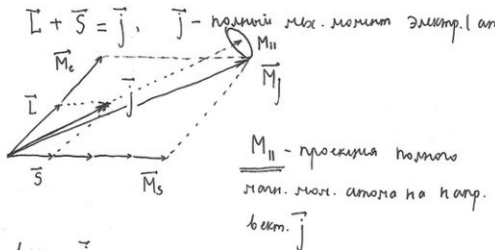
\bar{e} обладает собст. маг. мом. и - спином \Rightarrow должен обладать магн. моментом

$$M_s = \frac{e\hbar}{2m_e c} \sqrt{s(s+1)}$$

$$\begin{cases} M_e = \mu_B \sqrt{\ell(\ell+1)}, & \overrightarrow{M}_e \sim \overline{L} \\ M_s = 2\mu_B \sqrt{s(s+1)}, & \overline{M}_s \sim \overline{S} \end{cases}$$

однокомпонентный атом $\overline{L} + \overline{S} = \overline{j}$, \overline{j} - полный магн. момент атома (вектор)

$$\overline{M}_s + \overline{M}_e = \overline{M}_j$$



M_j будет прецессировать вокруг j

$$\overline{M}_{\parallel} \Rightarrow \overline{H}_e \quad \overline{H}_e = -a \frac{\overline{j}}{|\overline{j}|} \quad a \sim \mu_B$$

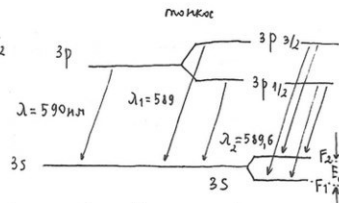
16. Спин и магн. момент ядра. Сверхтонкое расщепление спектр. линий

$$3p \quad l=1, \quad s=\frac{1}{2} \quad \overline{j} = \overline{L} + \overline{S} \quad \frac{1}{2} \leq j \leq \frac{3}{2}$$

$$\Delta\lambda_2 = 0,0023 \text{ нм}$$

$$\Delta\lambda_1 = 0,0021 \text{ нм}$$

сверхтонкое расщепление связано с
изменением спина ядра с пол. магн. мом. атома



$$3s: \quad l=0; \quad s=\frac{1}{2}; \quad j=\frac{1}{2}$$

Полный момент электр. оболочки:

$$\overline{j} = \sum_{i=1}^2 \overline{j}_i, \quad \overline{j} = \overline{L} + \overline{S} \quad \boxed{\overline{j} = \overline{j}} \quad \text{на бн. обол. 12}$$

Полный момент атома: $\overline{F} = \overline{j} + \overline{I}$, \overline{I} - вектор спина ядра

I - кв. число спина ядра (спин ядра)

$F \rightarrow F -$ кв. члены квантовой мом. атома j - квантовый мом. мом. атома (энергия)

$$|j-I| \leq F \leq j+I \quad 3S \quad l=0, S=\frac{1}{2} \quad j=\frac{1}{2}$$

$$\text{Na: } |j-\frac{1}{2}| \leq F \leq j+\frac{1}{2} \quad F_1 = I + \frac{1}{2}$$

$$F_2 = I - \frac{1}{2}$$

$$j \Rightarrow M_{\parallel} \Rightarrow \overline{H}_e = -a \frac{\vec{j}}{|\vec{j}|} \quad a - \text{const,} \text{ упрощает квантовые} \text{ вычисления}$$

$$\text{Бора} \quad m_B = \frac{e\hbar}{2m_e c}$$

$$\text{макр. мом.} \text{ запрашиваются} \quad M_a = b \frac{\vec{I}}{|\vec{I}|} \quad -a, \text{ м.р.} \in \text{ отрицат.} \text{ запрещен,} \\ \text{помимо} \quad \vec{H} \text{ не кван.} \text{ можно} \quad j$$

$$b \text{ упр. к} \text{ квантовому} \text{ запрещенному} \quad m_K = \frac{e\hbar}{2m_p c} \quad \text{квантовий} \text{ момент}$$

$$m_B = 0,9 \cdot 10^{-20} \frac{3pr}{T_{\text{Яз}}}$$

$$m_K = 5 \cdot 10^{-24} \frac{3pr}{T_{\text{Яз}}}$$

$$m_K < m_B$$

квантовый запрещен в
1836 p. < чем квантовый
атома

Энергия сверхтонкого расщепления:

$$E_{ct} = -(\vec{M}_a \cdot \overline{H}_e) = ba \frac{(\vec{j} \vec{I})}{|\vec{j}| |\vec{I}|} = E_{ct} \quad \text{безразмерн.} \text{ конст,} \text{ а} \text{ и} \text{ б,} \\ \text{и склонн.} \text{ промежуточно} \text{ сравнив}$$

сверхтонкое

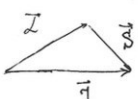
$$F^2 = j^2 + I^2 + 2(j \vec{i} \vec{I}) \quad (j \vec{i} \vec{I}) = \frac{F(F+1) \hbar^2 - j(j+1) \hbar^2 - I(I+1) \hbar^2}{2}$$

$$E_{ct} = \frac{ab}{2} \frac{F(F+1) - j(j+1) - I(I+1)}{\sqrt{I(I+1)} \cdot \sqrt{j(j+1)}}$$

$$L-S \text{ обозн: } \vec{j} = \vec{l} + \vec{s}$$

Число ядер: $N_j = 2L+1$, if $L < S$

(²³Na) $N_j = 2S+1$, if $S < L$



$$\text{Na: } j = \frac{1}{2}, I = \frac{3}{2}$$

if $I < j$ то число пачен. быт. пачен. $(2I+1)$

17. Магнитный момент нуклона. Систематика тонк. магн. и

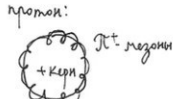
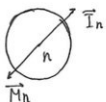
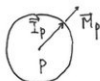
сумма ядер

$$M_B = \frac{e\hbar}{2m_ec}, M_e = M_B \quad \text{автомагнит Маркуса}$$

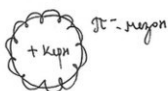
$$\mu_k = \frac{e\hbar}{2m_p c}, M_p / \mu_k, M_p = +2,79 \mu_k \quad \text{ядро позитрон}$$

$$M_n \neq 0, M_n = -1,91 \mu_k$$

сумма $I_p = \frac{1}{2}$
 $I_n = \frac{1}{2}$



нейтр.



Эмпирические правила для ядер-и
сумма и пол. магн. ядер

1. Ядра с четн. зуп. я. имеют члены суммы,

а с нечетн. зуп. А - комбинации

2. Нейтр. и протоны входят в состав м.о.бр., что
 все магн. моменты в сумме комбинир-ся, а суммы
 складываются

сумм. ядер.
 пол. я.

Ядро	n	p	${}_1^2 H_1$	${}_1^3 H_2$	2n Комбин. ядер-и сумм ядер ${}_1^2 H_1 + {}_2^3 He_2$	${}_2^4 He_2$	${}_3^6 Li_3$	${}_6^{12} C_6$	${}_7^{13} C_7$
сумм. ядер $I(\hbar)^{\pm}$	$\frac{1}{2}^+$	$\frac{1}{2}^+$	1^+	$\frac{1}{2}^+$		$\frac{1}{2}^+$	0^+	1^+	0^+
сумм. ядер $M_B(\mu_B)$	-1,91	+2,79	+0,86	+2,96		-2,13	0	+0,8	0

* Ядерн. модель Рейн. Ионенко

для легких ядер, где ${}_{6,7}^{13} C$ отсутствует

сумм. ($+0,7$) искривл. ~ 1,91

↑

одновалентная спираль. ядра

сумм ядер
 нер-фн

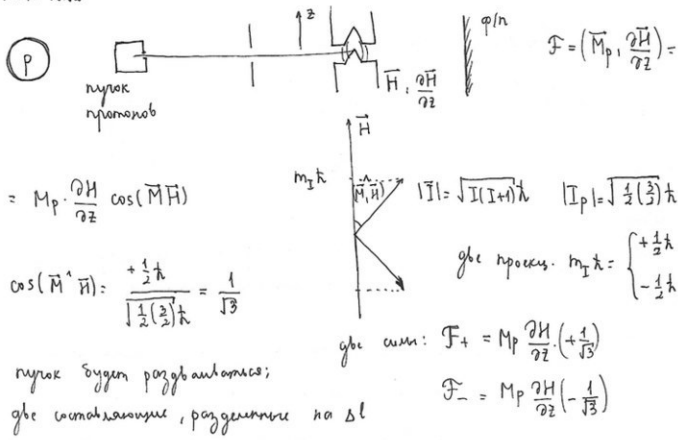
2n и 2p б-
 комбинир-ся
 нер-я и нер-я
 гатом сумм 1

общественная
 структ. ядра

18. Эксперим. методы опред. мом. мом. в ядер.

18а Метод Монтина-Герлонса (Н. № 1943)

Метод основан на исследовании отклонения заряж. частиц, движ. в неоднор. мом. поле



нуль будет разгубантарес;

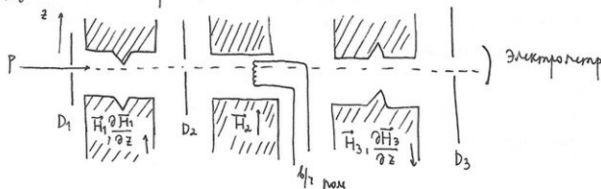
где начальные, разгубантарес на Δt

$\Delta t \sim F \sim M_p \Rightarrow$ измеряя Δt можно измерять мом. мом. р

$\Delta t = 0,004 \text{ мс}$ (при max неоднор. мом. поле)

18б. Метод Дэни, бесконтактный метод, метод Монтина-Герлонса.

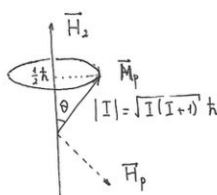
Метод Дэни заключ. в изучении законов перекрестных мом. момента для различных электромагнит. бесконтактных полей



1) монитор бкнозары \Rightarrow прецессиян мак i_{\max}

2) бкнозар Штурна и Гер. (теорет. нач.) \Rightarrow прецесс. мак $\approx \frac{1}{2} i_{\max}$
(бкнозар оғын компоненти расынан)

3) бкнозар. б/з мак и H_2



за орт \vec{H}_2 \vec{H}_p прецессирует, а за орт б/з мак
робогрунтас

$$E_{\text{нэл}} = -(\vec{M}_p \cdot \vec{H}_2) = -M_p \cdot H_2 \cos(\vec{H}_p \wedge \vec{H}_2)$$

$$\cos \theta = \frac{m \frac{h}{2}}{\sqrt{I(I+1)} \frac{h}{2}} \quad m_I = \pm \frac{1}{2} \Rightarrow$$

$$\Delta E_{\text{нэл}} = E_{\text{нэл}}(m_I) - E_{\text{нэл}}(m_{I-1}) = M_p H_2 \frac{1}{\sqrt{\frac{1}{2} \left(\frac{3}{2}\right)}}$$

$$\boxed{\Delta E_{\text{нэл}} = M_p H_2 \frac{2}{\sqrt{3}}}$$

С гр. чиесінде $\Delta E_{\text{нэл}} = \hbar \omega_L \Rightarrow$

$$\hbar \omega_L = H_p H_2 \frac{2}{\sqrt{3}} \Rightarrow \boxed{M_p = \frac{\hbar \omega_L \sqrt{3}}{2 H_2}}$$

Разница энергии мак.
б/з мактердің сабактау мак. мак. р
с мак. мак. мак. мак. \vec{H}_2

При этом берілген мактың \downarrow мака ($< i_{\max}$)

М.о при бкнозар \vec{H}_2 и б/з мак при уставше $\Delta E = \hbar \omega_L$ нағылдауда
еканынан мактердің күштік мака из-за күйбершемдік мака и мак. мактердің

перенесем первые 45 мин. пары!

24 апр. модуль № 1

18. Эксперимент. метод опред. стат. мом. зер

А. Метод Штурма и Герда

Б. Метод Ради, высокочастотный метод, метод Мон. Розанова

19. Число волновых функций зер

$$|\psi(x, y, z)|^2 = |\psi(-x, -y, -z)|^2 \quad \text{ДСК}$$

$$|\psi(r, \theta, \varphi)|^2 = |\psi(r, \pi-\theta, \pi+\varphi)|^2 \quad \text{согр. СК}$$

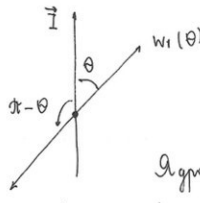
$$\psi(r, \theta, \varphi) = \pm \psi(r, \pi-\theta, \pi+\varphi)$$

$$\hat{\Pi} = \pm 1$$

в симметричных процессах членство
волн. ф-ции определяется:

$$\hat{\Pi} = \pm 1$$

(на симм. членности: $\hat{\Pi} \neq \pm 1$)



Ядро состоит из двух.

При отсчете. бозонов. модулю состояниями даются
числ. (2-я частица)

$$\Psi_{A+B} = \underline{\Psi_A \cdot \Psi_B} \Psi_{\ell_A} \cdot \Psi_{\ell_B}$$

базир. волн. ф.
частички A и B

Ψ_A, Ψ_B - волн. ф. движущиеся

частички A, B относ. я. масс

$$\prod_{A+B} = \prod_A \prod_B \prod_{\ell_A} \prod_{\ell_B}$$

$$\prod_{A+B} = \prod_A \prod_B (-1)^{\ell_A} \cdot (-1)^{\ell_B}$$

для полного описание кв-мн. сост. ядра используется характер ядра:
состоит из скита и четности (I и четн.) $\frac{1}{2} + \frac{3}{2} -$

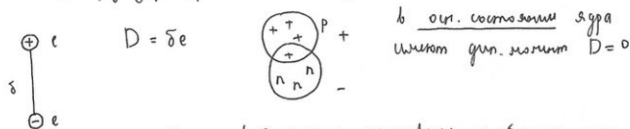
$I^{\pi}(\hbar)$	n	p	D	3_1H_2	3_2He_1	4_2He_2	6_3Li_3	$^{12}_6C_6$	$^{13}_6C_7$
	$\frac{1}{2}^+$	$\frac{1}{2}^+$	$\frac{1}{2}^+$	$\frac{1}{2}^+$	$\frac{1}{2}^+$	0^+	1^+	0^+	$\frac{1}{2}^-$

П-результат

Ягра зупаром бөл оңт. мол. и тозбүрдеме.

20. Распределение заряда в ядре. Квадруп. момент ядра

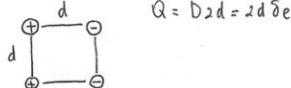
1) оңт. распред. заряда с помощью групп



при дистанции между ядро-молекулой за счет этого конденсации притяжущий массы относ. велич.

2) оңт. заряда ядра с помощью квадруполя Q квадруп. момен., кв. зар. и между отклонениями распределения заряда ядра от сферич. симметрии.

Класс. квадруполи Модел:



размером 2 радиуса ядер

момент ягы: Q_0 - бүтүрг. квадруп. мом. ядра

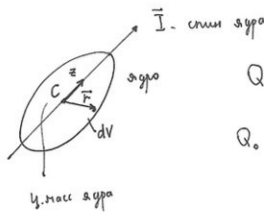
Q_H - наименьший квадруп. момент ядра

Для хар-ки формул ядра используются бүр аныкч (обобщенные методы)

$$Q_0 = \int (3z^2 - r^2) \rho q(r) dV$$

z - координаты r по бүтүрг. оси симметрии
(или z - координата квадруп. мом.)

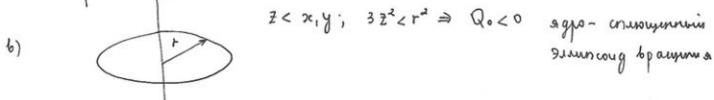
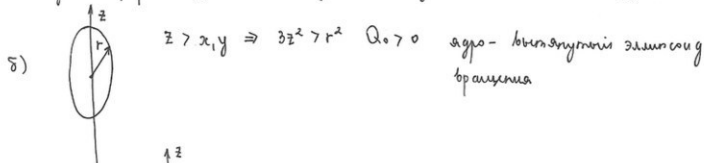
2 - проекция б-ра \vec{F} на вектор оси симметр. ядра



$$Q_0 = \frac{1}{c} \int_V (3z^2 - r^2) \rho_g (\vec{r}) dV$$

Q_0 - изображение б-ра ядра

a) для сферич. ядра: $r^2 = x^2 + y^2 + z^2$; $x = y = z \Rightarrow 3z^2 = r^2 \Rightarrow Q_0 = 0$



Q_H - недоделки квадр. мом.

$$Q_H = \frac{I(2I-1)}{(I+1)(2I+3)} Q_0$$

если $I=0, \frac{1}{2},$ то $Q_H=0$

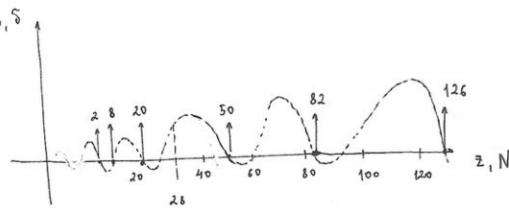
$I=1, \text{ то } Q_H = \frac{1}{10} Q_0$

Ед. недод. квадр. мом. изл. в барах: 1 барн = 10^{-24} см^2

для ядерных ядер Q_0 для ядер больших $Q_0 \left({}^{17}_8 O_9 \right) = -0,027 \delta$

$Q_0 \left({}^{135}_{57} La_{78} \right) = 5,9 \delta$

Энергетический график



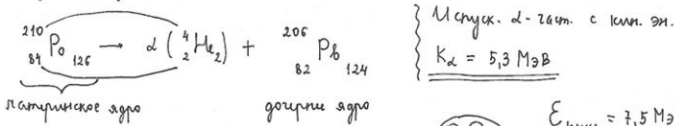
Группа с $Q \neq 0$ наз. деформиров. ядрами

2, 8, 20, 50, 82, 126 — ядерные числа (② \leftrightarrow ${}^4_{\lambda}He_2$ м.е
 $N = z = 2$)

III. Радиоактивное ядерное деление

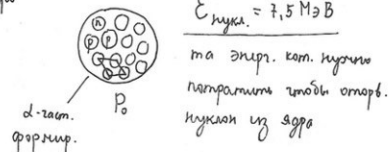
рад-реакт. - это об. ба ядер превращ. гр. б группы с изотоп. ядерами

α , β , γ - радиоакт.



Уч. з-на соср. числа нуклонов

β -лучами ядра формир. α -зам.

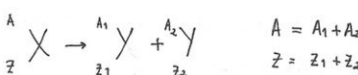


$\Delta W(\text{9}_{\text{4}}^{\text{Be}} \rightarrow \text{4p}, \text{5n}) = 58 \text{ МэВ}$ - эн. кин. нуклона з-группы, занесен в таблицу Be на $4p$ и $5n$

$$\Delta W(\text{9}_{\text{4}}^{\text{Be}} \rightarrow \text{4p}, \text{5n}) = 58 \text{ МэВ}$$

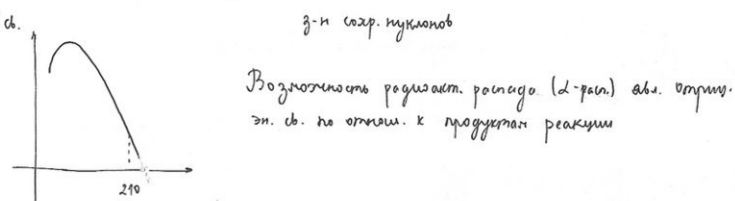
$$\Delta W(\text{9}_{\text{4}}^{\text{Be}} \rightarrow 2\alpha, 1n) = 2 \text{ МэВ} \quad (\text{на } 2 \text{ } \alpha\text{-зам. и } 1n) \quad \text{очн. эн. об. соср. } \alpha\text{-замывки}$$

$$\Delta W(\text{210}_{\text{84}}^{\text{Po}} \rightarrow \alpha, \text{206}_{\text{82}}^{\text{Pb}}) = -5,3 \text{ МэВ} \quad - \text{энергия выделения}$$



з-на соср. нуклонов

$$\Delta W(M_A(z_1, A_1) + M_A(z_2, A_2) - M_A(z, A)) c^2 < 0$$



3-и пагуасем. пачнага:

${}^{210}\text{Po}$ Күсік нағылда



Нүкесе обуынан буюн. сб. ми зара

Онаңнан көмір. онисем

$$dt \rightarrow -dN - \text{заря}$$

$$dN = -\lambda N dt \quad \lambda - \text{нач. пагуасем. пачнага}$$

N - пагуасем. заря

$$\frac{dN}{N} = -\lambda dt$$

$$N = N_0 e^{-\lambda t} \quad 3-и пагуасем. пачнага$$

Сп. АР. шарын заря - АР. б. мән. көм. шаро паг. заря \downarrow б. ерш

$$\frac{N_0}{N} = e \quad e^{-1} = e^{-\lambda \tau}$$

$$\tau = \frac{1}{\lambda}$$

Нүкесе нөхшпачнага $T_{1/2}$ - АР. б. мән. көм. көзінде пагуасем. заря \downarrow б. 2р.

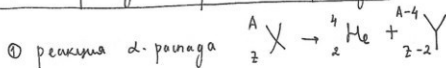
$$\frac{N_0}{N} = 2 \quad \frac{1}{2} = e^{-\lambda T_{1/2}}$$

$$T_{1/2} = \frac{\ln 2}{\lambda}$$

$${}^{210}\text{Po} \quad T_{1/2} = 138 \text{ гаси}$$

17.04.12.

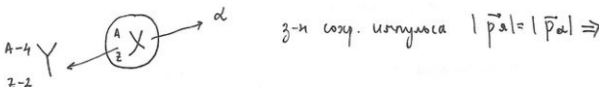
22. d-пачнаг. Энергия d-пачнага



$$\textcircled{2} \text{ Энергетикалық бозғоннама d-пачнага: } \Delta W_d = [M_d(A-4, z-2) + M_a({}_{z}^4 \text{He}) - M_a(A, z)] c^2$$

$$\textcircled{3} \text{ Энергия d-пачнага: } E_d = |\Delta W_d| = [M_d(A, z) - M_d(A-4, z-2) - M({}_{z}^4 \text{He})] c^2$$

$$\textcircled{4} \text{ Кинем. энергия d-рәзим. } E_d = K_d + K_a(A-4, z-2)$$



$$M_d N_d = m_d N_d \Rightarrow M_d K_d = m_d K_d \Rightarrow K_d = \frac{m_d}{M_d} K_a \Rightarrow$$

$$E_d = K_d + \frac{m_d}{M_d} K_a = K_d \left(1 + \frac{m_d}{M_d}\right)$$

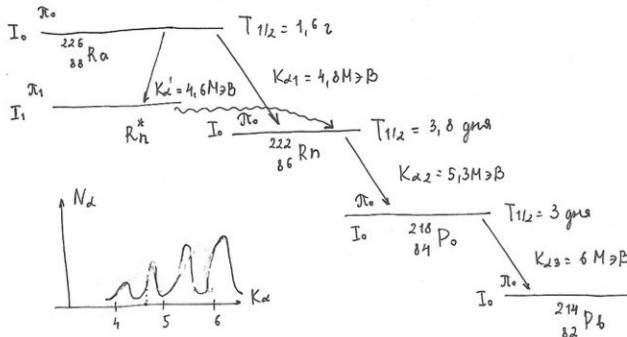
$$K_d = E_d \left(1 + \frac{m_d}{M_d}\right)^{-1}$$

22. α -раснаг. Энергетика α -раснага

23. α -раснаг. Механизм α -раснага. Путиченк. эф. З-и Тейлера-Миттэла

в зоне обтекания $M_\infty \gg M_\alpha \Rightarrow K_\alpha \approx E_\alpha$

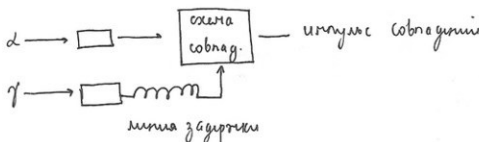
⑤ Энергетическая диаграмма (исходя раснага)



$$K_\alpha' = 4,6 M \cdot B$$

\Downarrow
м.к. Ra распадается на 2-й канал

Появление α -и γ -лучей было доказано Боре (Ноб. 1954г.) с помощью счетчика

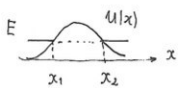


23. α -раснаг. Механизм α -раснага. Путиченк. эф. З-и Тейлера-Миттэла

помимо ядра (для заряженности). Внутри ядра образуются α -заряд. и энергия связи этой зон. будет не отриц. к зоне отриц. \Rightarrow она хочет выйти наружу, и если конечная энергия такова выхода:

Взаимодействие α -заряд. с ядром Кулона: $U_{\text{кул.}} = \frac{Z_1 Z_2 e^2}{r}$

$$\text{Быть может кинет. зарядом: } B = \frac{Zze^2}{R_s} \quad E_d = K_d = \frac{Zze^2}{r_1} = U(r_1)$$



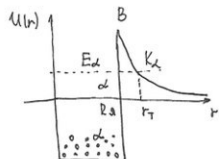
29 n.

$$D = e^{-\frac{2}{\hbar} \int_{x_1}^{x_2} \sqrt{2m[U(x) - E]} dx} \quad - \text{бесконечн. ф-ю R-7}$$

$$D_d = e^{-\frac{2}{\hbar} \int_{R_s}^{r_1} \sqrt{2m_d[U(r) - E]} dr}, \quad E_d \ll B$$

$$D_d = e^{-\frac{2}{\hbar} \int_{R_s}^{r_1} \sqrt{2m_d \left(\frac{Zze^2}{r} - E_d \right)} dr} = e^{-\frac{2}{\hbar} \int (B, K_d)}$$

$$D_d = e^{-\frac{\pi c}{\hbar} \sqrt{2m_d} \frac{Zze^2}{\sqrt{K_d}}}$$



o

$$\Delta x \cdot \Delta p_x \sim \hbar \quad \Delta p_x \approx p \quad 2R_s \cdot p_d \sim \hbar$$



$$2R_s \cdot m_d \cdot N_d \sim \hbar$$

$$N_d = \frac{\hbar}{2m_d R_s}$$

- врем. закон.
б-р предел. з-за

$$n = \frac{N_d}{R_s} = \frac{\hbar}{2m_d R_s^2}$$

$$dN = -\lambda N \cdot dt \quad \lambda - \text{б-р. расчага 1 з-за б-р. времени}$$

н. число ядеров в единиц
б-р. расчага з-за б-р. времени

$$\lambda = n \cdot D_d$$

- б-р. смерт. расчага

как-то б-р. смерт. пропущен.
ядеров з-за б-р. времени

$$\lambda_d = \frac{\hbar}{2m_d R_s^2} \cdot e^{-\frac{\pi c}{\hbar} \sqrt{2m_d} \frac{Zze^2}{\sqrt{K_d}}}$$

$$\ln \lambda_d = \underbrace{\ln \frac{\hbar}{2m_d R_s^2}}_{A} - \underbrace{\frac{\pi c}{\hbar} \sqrt{2m_d} \frac{Zze^2}{\sqrt{K_d}}}_{C}$$

$$\ln \lambda_d = A - \frac{C}{\sqrt{K_d}}$$

з-за Терап-
иотерапии

235 $U \quad T_{1/2} = 7 \cdot 10^8 \text{ нм}$

238 $U \quad T_{1/2} = 4,5 \cdot 10^9 \text{ нм}$

Свръзките з-на Т-Н.

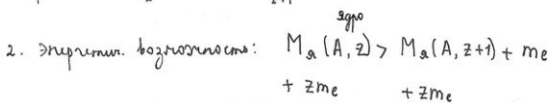
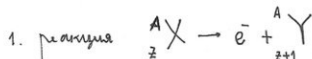
- 1) if избрано R_a и K_d , то опред. λ_d ($T_{1/2}$ - пачн)
- 2) if избрано λ_d и K_d , то опред. R_a

24. β^- -нуклонене едип. \bar{M}_α тога β^- -пачнага

def: β^- -пачнага тога процес самопронизвателно нуклонение не чин. съпътстват съпътстват (A = const) с зарядов отклонени на $\Delta z = \pm 1$ за всички нуклони \bar{e} (β^- -пачнаг), независимо е+ (β^+ -пачнаг), или зарядено орбиталното \bar{e} (K-заряден или e-заряден)

(A)

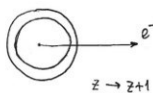
β^- -пачнаг



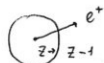
$$M_\alpha(A, z) > M_\alpha(A, z+1)$$

24. 04. 12.

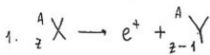
3. Енергия β^- -нуклонене



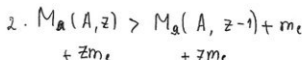
$$E_{\beta^-} = [M_\alpha(A, z) - M_\alpha(A, z+1)] c^2$$



4. β^+ -пачнаг

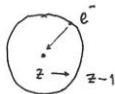


$$E_{\beta^+} = [M_\alpha(A, z) - M_\alpha(A, z-1) - 2m_e] c^2$$

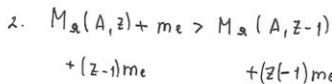
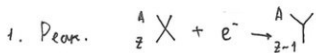


$$M_{\alpha n}(A, z) > M_{\alpha n}(A, z-1) + 2m_e$$

B. K - зондами. E, e, E - зондами



огул из зондегол таңынан көмүкимен жаңарынан, таңда
1 e^- зонд. зондом



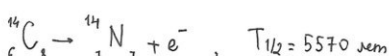
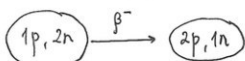
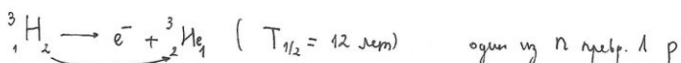
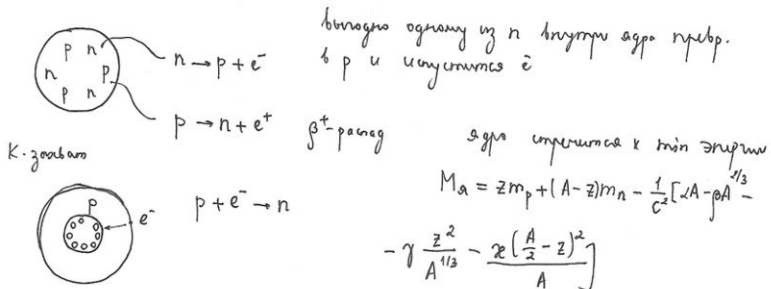
$$M_a(A, z) > M_a(A, z-1)$$

3. $E_K = [M_a(A, z) - M_a(A, z-1)] c^2$

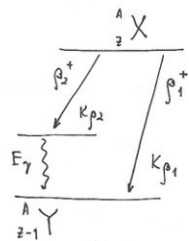
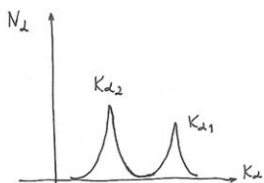
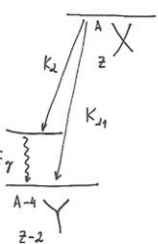
$E_K < E_{el}$ ^{Kөс}
e-зондама не 8үйгүм

мозга нүкис. зондама e^- с
L-сөзөркү

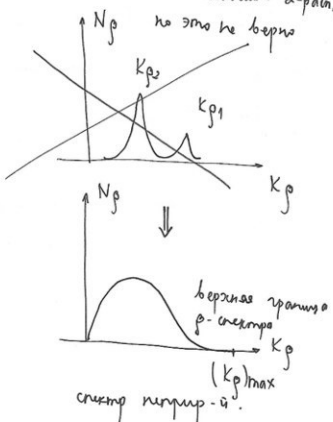
25. Механизм β-превращений. Примеры



26. Характер β -спектров. Типометра по нейтрону.



но аналогичн
но это не верно



$$E_\beta \approx (K_\beta)_{\text{max}}$$

$$\bar{K}_\beta = \left(\frac{1}{3} \pm \frac{1}{2}\right)(K_\beta)_{\text{max}} = \left(\frac{1}{3} \pm \frac{1}{2}\right) E_\beta$$

Типометрия Пайли: β -превращение \rightarrow
использование либо одна застопора - нейтрально

$$K_{\beta e} = E_\beta - K_\beta,$$

$$E_\beta = K_{\beta e} + K_\beta$$

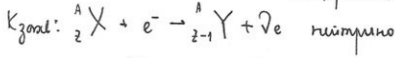
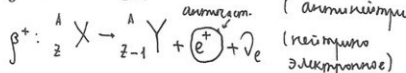
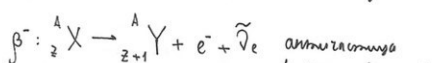
Кинет. эн. Кин. эн.

нейтрально β -спектр. + радио добавка \rightarrow энергия
нейтрона Ягра ($E \approx 1 \approx$ то упрощено)

Заряд нейтрона: $Z_2 = 0$

Масса нейтрона: $m_2 \approx 0$

Сила нейтрона: $S = 1/2$



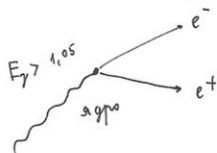
заряд.

заряд.

27. 3-и взаимодействия.

Частицы и античастицы.

аном: e^- - частица, e^+ - античастица.

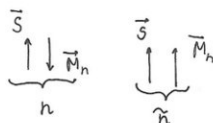


Однородность зарядом

Ядро: Π^+ - ядро-частица, Π^- - ядро античастица. Однор. зарядом

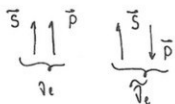
БЭВ: p, \bar{p} - антипротон (заряд отриц.)

10^9 эВ n, \bar{n} - антинейтрон $M_n = -1,91 \mu_K$
ускоритель "Зевс"
заряд нулевой.

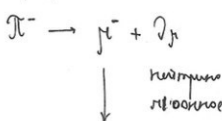


β - преобраз.: $\tilde{\gamma}_e$ - нейтрально электронное, $\tilde{\gamma}_e$ - антинейтрально электр.

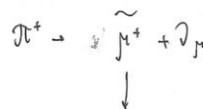
Однор. взаим. напр. вектора спин и вектора импульса.



преобразование частицы



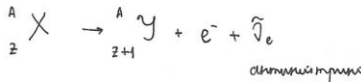
заряд.



антизаряд

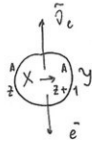
28. Эксперимент. опр. масса нестабильн.

$$m_\beta \approx 0, \quad z_N = 0 \quad S = \frac{1}{2} \quad M_\beta = 0$$



$$E_{\beta^-} = [M_{\text{ам}}(A, z) - M(A, z+1)] c^2$$

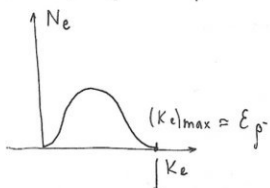
энергия β^- -пакета



Энергия β^- -пакета уменьшается с уменьшением $\bar{\gamma}_e$.

$$E_{\beta^-} = K_e + K_{\bar{\gamma}_e} + K_g + m_\beta c^2$$

Характер β^- -спектра:



в этой точке максимум
такой энергии E_{β^-} уменьшается
с ростом $\bar{\gamma}_e$

Однако максимальная энергия
 e^- в энергии $(K_e)_{\text{max}}$.

$$E_{\beta^-} = (K_e)_{\text{max}} + m_\beta c^2 \Rightarrow$$

$$m_\beta = \frac{1}{c^2} [E_{\beta^-} - (K_e)_{\text{max}}]$$

Извлечение из массы нестабильного
ядра определяет массу нестабильного
 $(K_e)_{\text{max}}$

$$K_{\bar{\gamma}_e} = (K_e)_{\text{max}}$$

$$K_g = 0$$

$K_g = 0$ (в первом приближении), а
единственное значение K_g

масса нестабильного (также e^-) определяется

Максимальная энергия $E_{\beta^-}, (K_e)_{\text{max}} \rightarrow$ определяет массу нестабильного

29. Правое ядро - ба ауточ. неимпульс

Серене бозарног. неимпульс с берн. м: $\bar{\sigma}_2 \approx 10^{-44} \text{ cm}^2$ (ор. маш.)

$$n \approx 10^{22} \text{ cm} / \text{cm}^3$$

$$\Sigma_{\text{сп}} = 10^{-24} \text{ cm}^2$$

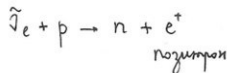
$$\text{ср. гл. сбо. нюбона } \bar{\ell} = \frac{1}{6 \cdot n} = \frac{1}{10^{-44} \cdot 10^{22}} \approx 10^{22} \text{ cm} = 10^{20} \text{ m} = 10^{17} \text{ km}$$

Эксперименты Бека

Доказано существ. неимпульс: Кобан (1956 год)

Использ. радиометрический реактор: $n \rightarrow p + e^- + \tilde{\nu}_e \rightarrow$ антинейтрон
антинейтронное

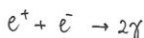
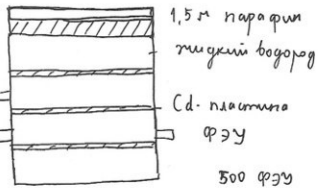
для переноса антинейтров иониз. обогатительная реакция:



реактор

Лаборатория Рубина - реактор

15 cm Pb →

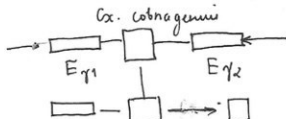
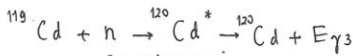


$$E_\gamma, E_{\gamma 2} = 0,51 \text{ MeV}$$

$$E_\gamma \quad E_{\gamma 1}$$

1) Э позитрона радиоактив. насл. м гб/с
поглощ. напр. γ -квантов

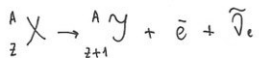
2) Cd захватывает n :



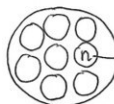
Одно доказано, что
неимпульс \exists

$E_{\gamma 3}$ Cd. субнаг. \Rightarrow 3-х субнаг. \Rightarrow Ат. заряд (200) 1500 эл.

30. Понятие о механизме β-превращения



Быстро удаляется один электрон и становится неизвестно.



$$n \rightarrow p + \bar{e} + \tilde{\gamma}_e$$

Откуда они берутся?

Ядро не смес. Оно имеет избыт. эн. Это эн. консерватория. На нейтр. ядре с энергетической точки и при некот. эн. разр. генерируется и аннигилирует (прич. быстрые)

Bm. 15 3 нара

Физ. быстрые - результат большинства генерации

Bm. 17 3 нара

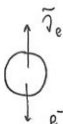
$$\text{вероятн. ф. превр. } W_f = \frac{2\pi}{\hbar} \left| \int \Psi_k^* H' \Psi_n d\tau \right|^2 f(E)$$

Ψ_n (наганная б.п. ядра)

Ψ_k (консерв. б.п. ядра)

H' - оператор быстрых. под которым происх. β-превр.
dτ - элемент времени

$f(E)$ - норм. консерв. соотнош.



Следует выделить:

Число

Э/ж. кванты

W - дозим.

Гравитации

Ядерн. ядерн. $g_s = 1$ (const)

$$g_{\beta/n} = 10^{-2}$$

$$g_{ca} = 10^{-13}$$

$$g_{grav} \approx 10^{-38}$$

относительная сила быстрых

Классика: 4 ядра.

собр. теор.: 3 ядра. быстр. эл/ж и сильн.

Электроактив.

$$\Psi_H = \Psi_{H,N} \text{ (нуклон)}$$

$$\Psi_K = \Psi_{K,N} \cdot \underbrace{\Psi_e \cdot \Psi_{\bar{e}}}_{b \text{ норм. спир. занс. - exp.}} \text{ (импульсное б. п.)}$$

$$\Psi_K = \Psi_{K,N}$$

{

$\Psi_e = \frac{1}{\sqrt{V}} e^{-\frac{i}{\hbar} (\vec{p} \cdot \vec{r})}$

$\Psi_{\bar{e}} = \frac{1}{\sqrt{V}} e^{\frac{i}{\hbar} (\vec{p} \cdot \vec{r})}$

} нейтрон
ионные
волны

$$W_\beta = \frac{2\pi}{V_s \hbar} \left| \int_{V_a} \Psi_{K,N}^* \cdot g_{ca} \cdot \Psi_{H,N} \cdot d\tau \right|^2 p(E)$$

аэронеф. матриц. Эл-м

$$M_a = \int_{V_a} \Psi_{K,N}^* \Psi_{H,N} d\tau$$

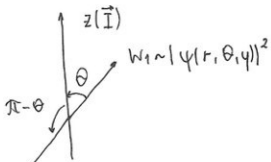
$$W_\beta = \frac{2\pi}{\hbar} g_a^2 \frac{1}{V_s} |M_a|^2 p(E)$$

вероятность б. п. налага
(пробел Берн)

31. Не сопарение генерации при β -превращении

Мему. б. п. сосп. при пространственной инверсии $\psi(r, \theta, \gamma) = \pm \psi(r, \pi-\theta, \pi+\gamma)$

при аэронеф. процессах соблюд. (где \exists р. норм.)



$$W_1 \sim |\psi(r, \theta, \gamma)|^2$$

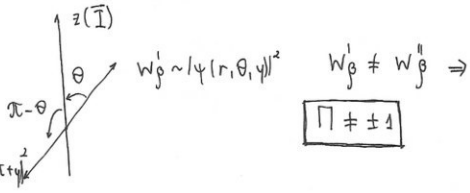
$$W_1 = W_2 \text{ (д. п. налага)} \quad \Pi = \pm 1$$

б. п. налага по б. п. налага
норм. и норм. работы

1956 год. Их в Гарв. выдвинули гипотезу,
что б. п. не сопаряется. Т.к. не сосп.

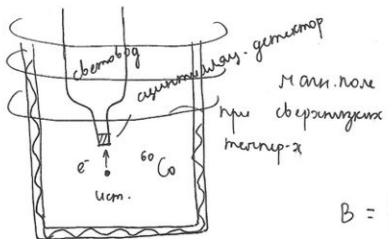
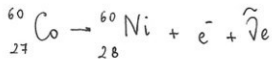
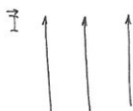
1957 год. подтверждено. Небал. присп.

$\Pi \neq 0$ б. п. превращ.



1957 год Магн. By эксперимент

излучалось ядро:



} приемст. кол-во \bar{e} , испускаемых
 ^{60}Co при прямом напр.
 (ядра излучают бетон) и при
 обр. напр. (ядра излучают бетон)

$$B = \frac{W_{\uparrow\uparrow}}{W_{\uparrow\downarrow}} = \frac{0,8}{1,2}$$

акселератор солен.
 большую величину.

0,8 и 1,2 определены комнатной температурой

\bar{e} превышает величину противоположно сиюму ядра (протон (нейтрон))

32. γ -излучение ядер. Законы сохранения

Мониторско-контрольский эффект

γ -излучение ядер - это процесс испускания частицами Э/М излучения возбужд. ядрами.

процесс излучения. падающего на атм. ядра (d, β -пада)

$$\begin{array}{l} d\text{-пада}: \\ \begin{array}{c} A \quad X \\ \downarrow \quad \downarrow \\ E_1 \quad I_1 \quad x_1 \\ | \quad | \\ E_0 \quad I_0 \quad x_0 \end{array} \end{array}$$

$\log S. ядра$

$$\begin{array}{ccc} \gamma\text{-пада}: & & \\ \begin{array}{c} E_1 \\ | \\ E_\gamma \end{array} & \xrightarrow{\quad} & \begin{array}{c} I_1 \quad x_1 \\ | \\ E_\gamma \end{array} \\ E_0 & & I_0 \quad x_0 \end{array}$$

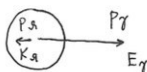
$10k \gg B \leq E_\gamma \leq 5 MzB$

не связано с
измен. излуч.
(менее $10k \gg B$)

χ -излуч. реагиц. обусл. переходами в электр. состоя.

γ -излуч. обусл. переходами в ядрах

1) 3-и квадр. энергии:



2) 3-и квадр. ионизации

Это к. сим. яд. ионизирующее излучение

$$|\vec{p}_\alpha| = |\vec{p}_\gamma| \quad p_\alpha = \sqrt{2M_\alpha c^2} \quad p = \frac{E_\gamma}{c}$$

$$2M_\alpha K_\alpha = \frac{E_\gamma^2}{c^2}, \quad K_\alpha = \frac{E_\gamma^2}{2M_\alpha c^2} \quad 2)(3-\text{i квадр. иониз.})$$

$$E_1 = (\underbrace{E_{боз.}}_{= E_\gamma + K_\alpha})$$

$$E_\gamma = E_{боз.} - K_\alpha$$

$$E_{боз.} = E_\gamma + \frac{E_\gamma^2}{2M_\alpha c^2} = E_\gamma \left(1 + \frac{E_\gamma}{2M_\alpha c^2}\right); \quad E_\gamma = \frac{E_{боз.}}{1 + \frac{E_\gamma}{2M_\alpha c^2}} \Rightarrow$$

$$E_\gamma \approx E_{боз.}$$

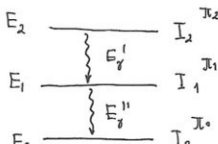
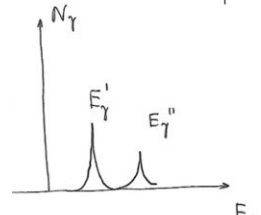
$$K_\alpha = \boxed{\frac{E_\gamma^2}{2M_\alpha c^2}}$$

приближим класс. з-ни

Сначала γ -излуч. ионизацию \rightarrow

$$\frac{5M_\alpha B}{1 + \frac{E_\gamma}{2M_\alpha c^2}}$$

малая коррекция



каскадное - γ -излучение

II. З-и сопр. мат. ионного и генератора

зар-р: сим и антисим

$$|I_1 - I_0| \leq L \leq I_1 + I_0$$

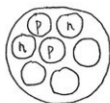
L - максимум упаковки фононов (максимумонассе)

- | | |
|-----------|-----------------------------|
| 10^{-4} | $L = 1$ - дипольное |
| 10^{-4} | $L = 2$ - квадрупольное |
| | $L = 3$ - октупольное |
| | $L = 4$ - переход с $L = 4$ |

Изменение L на 1 приводит к
изменению вр. на 4-5 порядков

Максимумонассе: $\delta E = \hbar \omega$ симма E_1

Процессы в адре при γ -излучении:



if процесс излучения связан с переходом заряда \Rightarrow
электрический переход $\prod_k^3 = \prod_h (-1)^b$
конечное начальное

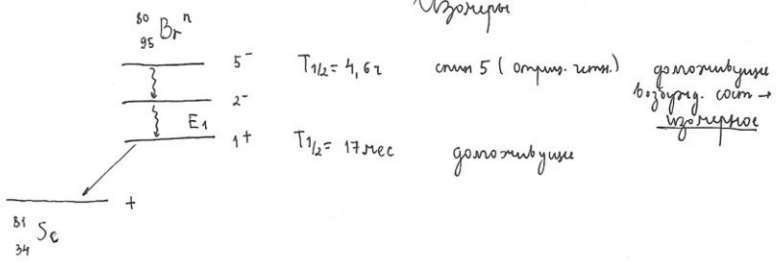
- II- магн. моментов: $\prod_k^H = \prod_h (-1)^{L+1}$

Спирорекции:

$L = 1$	рим. да ЭМК. E_1	10^{-17} с	бр. элек. заряда
	нет магн. M_1	10^{-13} с	
$L = 2$	рим. да магн. M_2	10^{-8} с	
	нет ЭМК. E_2	10^{-13} с	
$L = 3$	рим. да ЭМК. E_3	10^{-6} с	
	нет магн. M_3	10^{-1} с	

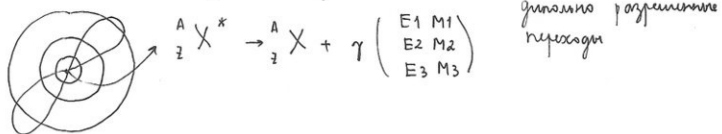
убедим. L на 1 приводит к уменьш. врем. выброса. \Rightarrow к убедим.
временем выброса адр.

Магн. мом. объект не может быть p, но и n



33. Явление внутренней конверсии γ -лучей

Явление бета-распада.



При запрещенном переходе ядерн. обл. внутр. конверсия — первоначальный переход ядерн. ядра с состояния из 2-6 атомов (без излучательного), в рез. чего испускается $\bar{\epsilon}$, уменьшении энерг. ядерн. ядра

$$\text{Кин. зн. } \bar{\epsilon} \quad K_{b.k}^K = E_{\text{без.}} - E_{\text{б.}}, \quad K_{b.k}^L = E_{\text{без.}} - E_{\text{б.}}$$

К. Электрон
внутр. Конверсии Эн. яд. в на
оболочке

Основ. характеристика $\bar{\epsilon}$ б.к. — Энергия и коэф. внутр. конверсии

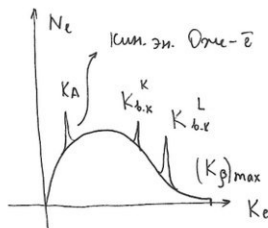
д. коэф. внутр. конв.

$$d = \frac{N_{\bar{\epsilon} L}}{N_{\bar{\epsilon}}} \quad \left\{ \begin{array}{l} \text{отношение числа } \bar{\epsilon}, \text{ испущенных} \\ \text{при переходе из одного и того} \\ \text{же состояния ядра к тому же } \gamma\text{-кв.} \end{array} \right.$$

$$\textcircled{=} d = d_K + d_L + d_M$$

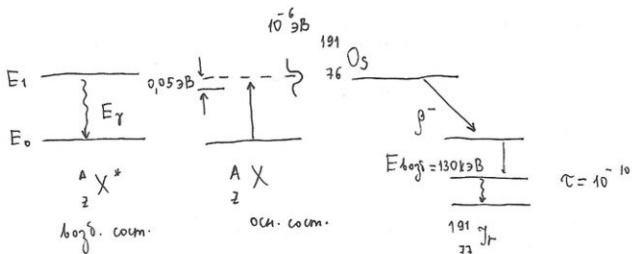
Наряду с тем коэф. внутр. конв. на K, L, M - оболочки

Мы можем запрещен. переход (бр. поглощ.), так же как и коэф. бр.-конв. д.



34. Эффект Миссбайера (Н.Н. 1961 год)

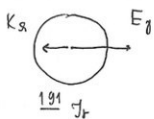
закон. в результате понижения собственного излучения излучающим видим



$$E_{\text{t}} = \frac{130 \text{ keV}}{\tau} \rightarrow \tau = 10^{-10} \text{ s} \quad \Delta E \cdot \frac{\tau}{\Delta t} \sim \tau \quad \Gamma \cdot \tau \sim \tau$$

$$\Gamma \sim \frac{\tau}{\tau} = \frac{10^{-27}}{10^{-10} \cdot 1.6 \cdot 10^{-12}} \sim 5 \cdot 10^6 \text{ eV}$$

Изменение урода (энергетическая напр.уп.)
составляет напр.уп.



изменение на энергию единицы сечм.

$$K_A = \frac{E_t^2}{2 M_A \cdot c^2} \approx 0.05 \text{ eV} \quad \text{а квант. напр.уп. } 5 \cdot 10^{-6} \text{ eV}$$

т.о. результативное колич. квантума даже не норм

Мисбаярпредложил заморозить атом в тв.мнде

как тутк. мнде - эн. ядра омгары (ядро бороздено в решетке тв.мнда) \rightarrow энпр. омгары перегаснет зона решетки

$$K_p = \frac{E_{\text{тогс.}}^2}{2M_p \cdot c^2} \ll \Gamma$$

решетка

17.05.12.

Эфф. Мисбаяра - разогнанное помон. соуд. излр.

$$E_{\text{тогс.}} = K_\alpha + E_\gamma$$

$$\Delta E = \Gamma \approx 10^{-6} \text{ eV}$$

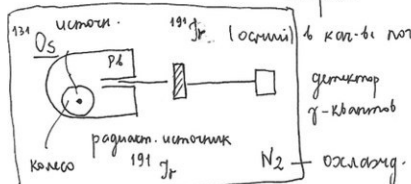
$$E_\gamma = 129 \text{ keV}$$

$$K_\alpha \approx 0.05 \text{ eV}$$

$$E_{\beta\gamma} = E_{\beta\gamma} + K_\alpha$$

заморожен ядра в тв.мнде энпр. омгары перегаснет не огнестр. яddy

$$K_\alpha = \frac{E_\gamma^2}{2M_p c^2} \quad K_{\text{реш.}} = \frac{E_\gamma^2}{2M_{\text{реш.}} c^2} \ll K_\alpha \text{ (омгары)}$$

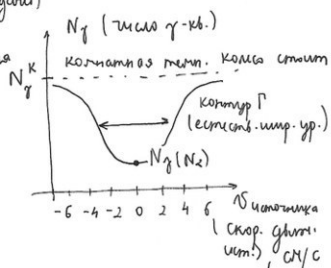


1) комм. магн. колесо снаружи

2) колесо снаружи (то снаружи же магн. поле атома)

3) колесо внутри.

Эфф. Допура $E_\gamma = h\nu_0 = h\nu \left[1 \pm \frac{\sqrt{1-\beta^2}}{1-\beta \cdot \cos\varphi} \right]$



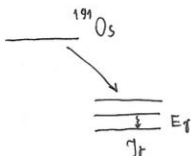
относ. скорость φ

Одн. из способов измерения енерг. кип. уп.

и гок-та нап-на изотр. Тарз. $\alpha \cdot \Gamma \approx k$

Знаем α , определям Γ

^{191}Os исчез. β падаг \rightarrow образование радиоакт. изом. ^{191}Ir



35. Пробирка ОТО. Измерение красного и синего свечения

б) лаб. уса.

Тархарр, Рейка

$$E_\gamma = h\nu$$

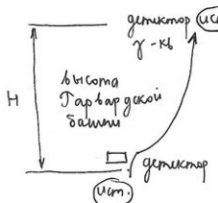
$$E_\gamma = m_\gamma c^2$$

дискримин. масса

дискримин. масса

$$\Delta E_\gamma = m_\gamma g H$$

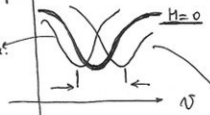
$$g = 9,8 \frac{\text{m}}{\text{c}^2} \quad H = 22,6 \text{ N}$$



наст.-ные тарх. массы x и кип. и дискримин.

N_γ

красное
свечение
с максимумом
(кип.)
(кип.)



изогнутая кривая
находитсѧ мин
 γ (кип.)
(кип.)

γ -кп. макс. при $H = 22,6 \text{ N}$ залогируется, что энерг. \downarrow

$$\Delta E_\gamma = \frac{E_\gamma}{c^2} g H$$

$$\frac{\Delta E_\gamma}{E_\gamma} = \frac{g H}{c^2} = \frac{9,8 \cdot 22,6}{(3 \cdot 10^8)^2} \approx 10^{-16}$$

относич. максимум

Изогнутая и дискримин. помехами неизмен.

36. Оболочечная модель ядра. Обоснование модели

A.

аналогия	теоретическое обоснование модели
<u>Атом</u>	<u>Ядро</u>
1. наимен. упр.-норм.	1. наим. упр.-норм / норм
2. неизменяемость	2. $E \sim 8 \text{ MeV}$ эн. обл./норм
3. н.н. запрета Планка	3. /ga

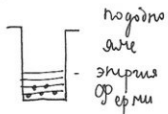
нуклонов наз. в норме. ампл

Энергия Ферми-наи-наих энерг. запретов

Взаимодействуют ли нуклоны между собой?



Сароскопирование
Не зависящий от бр.
Потенциал



уровни
для н.п с соотвтсв. запретами

Б - эксперимент.

Найти монатескии числа

1) Найти особо упр. ядер: ${}_2^4\text{He}_2$, ${}_8^{16}\text{O}_8$, ${}_{20}^{40}\text{Ca}_{20}$, ${}_{50}^{100}\text{Sn}_{50}$, ${}_{82}^{208}\text{Pb}$

40% бенз-то 10 смес. изомеров

2) Найти монатескии числа

3 четн. сомн.

2, 8, 20, (28), 50, 82, 126

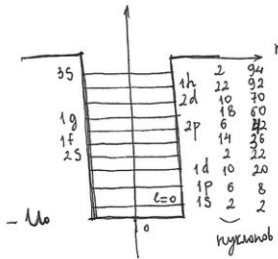
из кислорода

3) Особен. ${}_{6}^{13}\text{C}_{\pm}$

4) Особен. γ -излучения

Потенциал прямой. энерг.

$$\frac{\partial^2 R_{nl}}{\partial r^2} + \frac{2}{r} \frac{\partial R_{nl}}{\partial r} + \frac{2\epsilon}{\hbar} [E_{nl} - M(r) - \frac{\ell(\ell+1)\hbar^2}{2mr^2}] R_{nl} = 0$$



$$U(r) = U_0$$

n - число уровней = б. оп.

$R_{n,l}$ - б. оп. нуклона

l - орбит. кв. чисел

μ - приведенная масса нуклона

$E_{n,l}$ - Энергия уровня, ком. мкн. уровни
(нуклон на гамм. на гамм. уровне)

принцип наимен.

$$U(r) = -U_0, \quad r \leq R_s$$

$$U(r) = 0, \quad r > R_s$$

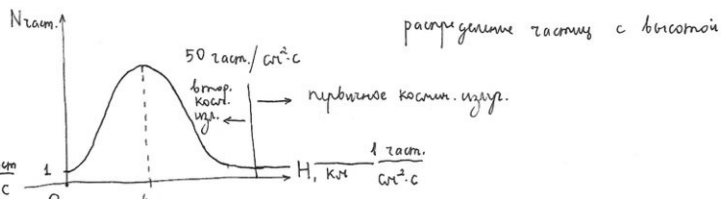
$$2(2l+1)$$

Кол-во нуклонов на гам. уровне

37. Ядерные реакции.

21.05.12. (принимают первые 45 мин.)

38. Сб.-ба космич. излуч.



на ур. форм. околоса

I. Состав перв. космич. излуч.

$$p = 92\%$$

$$d = 7\%$$

$$\text{изгр. с } Z = 3/8 - 0,1\%$$

$$\text{Больш. тяж. изгр. - } 10^{-2}$$

$$\bar{e} \sim 1\%$$

1) Кос.-бо изгр с $Z = 3/8 + 10^5$ зондами
в косм. излуч. на ур. с сост. земли

2) отношение $\frac{3}{2} \text{He}_1 / \frac{4}{2} \text{He}_2 + 300$ раз
больше на ур. с Землей

Космич. излуч. образуется в результирующих (делических)
Больш. тяж. изгр.

Част. нейт. космич. излуч. Это источник сверхновых звезд

если масса звезды < 4 масс Солнца - она взорывается, образ. белый карлик

если масса звезды > 4 мас Солнца \rightarrow гравитационный коллапс
(выстрелив в массы звезды), может произв. 2 явления:

- 1) образование нестабильной звезды в бросок оболочки \rightarrow сверхн. зв.
- 2) выброс снаряда (прокалывает гравиц. радиус) \rightarrow образ. чёрная дыра

Эволюция звезд:

1) $M_{zb} < 4 M_\odot$ образ. белый карлик

2) $M_{zb} > 4 M_\odot$ гравитиц. коллапс гравитиц. радиус $R_{zb} = \frac{2 M_{zb} \cdot G}{c^2}$

1-ое явление: разогрет биумп. газом звезды до температур с $T_{zb} \gg 10^9 \text{ K} \rightarrow$ присас. брос. оболочки, образ. сверхновой звезда. нейтронные звезды.

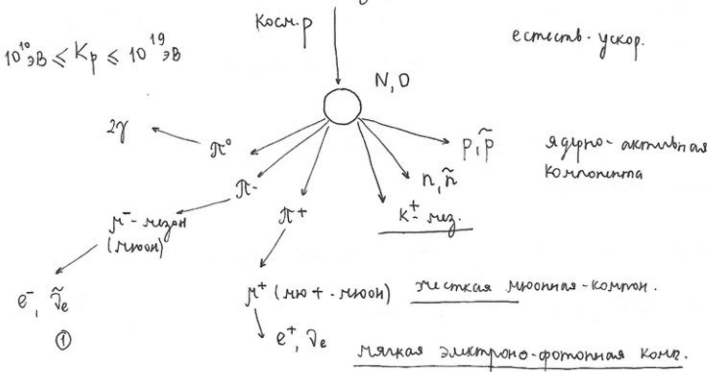
2-ое явление: $R_{zb} < R_{\text{грат.}}$ (белую чайку) образ. чёрная дыра

$$R_{zb, \text{солнца}} = 3 \text{ км}$$

$$R_{zb, \text{Земли}} = 0,9 \text{ см}$$

блеск сверхн.
зб. \rightarrow пер.
космич. излучение

II. Вторичное космич. излуч.



$$\textcircled{1} \quad \pi^- \rightarrow \mu^- + \bar{\nu}_\mu \quad \text{активно-импульсное}$$

$$\textcircled{2} \quad \pi^- \rightarrow e^- + \bar{\nu}_e + \gamma_\mu \quad \text{трехчастичный распад}$$

(первая производная)

$$\textcircled{3} \quad \pi^0 \rightarrow 2\gamma \quad \text{ШАЛ - микроквант импульса}$$

(излучение)

39. Множество фундаментальных и квази. элемент. частиц

имя бозонов.	безр. const бозонов.	расстояние (cm)	сечение (cm ²)	брешь (cm)	переносчик бозонов.
ядерное	$g_A = 1$	10^{-13}	10^{-24} 10^{-18} fm	10^{-22} c	π -мезоны ($s=0$) глюоны ($s=0$)
электро- магнитное	10^{-2}	10^{-8}	10^{-15}	10^{-15}	e/μ кванты
слабое	10^{-13}	$< 10^{-13}$	10^{-44}	10^{-10}	бистороний W-боzon
гравитаций.	10^{-38}	большое	-	-	гравитон ($s=0$)

Классификация элемент. частиц

3 класса: фононы - это бозоны.

левитоны - это и слабое bz.

агроны - это и сильное

лименты: $e^\pm, \bar{\nu}_e, \mu^\pm, \tau^\pm, \bar{\nu}_\tau$
максы

агроны: 2 класса: мезоны и барионы

π^+, π^0, π^- p, n, Σ^- (антинеутрино)
 K^+, K^0, K^- - антикварк

Слева номер билета, справа страница.

I Исторические модели структуры ядра.

- 1) Протонно-электронная модель ядра. 1
- 2) Азотная катастрофа. 2
- 3) Опыты Боте и Беккера. Открытие электрона Чадвиком. 3
- 4) Ядерные взаимодействия. Потенциал Юкаве. 4
- 5) Обменный характер ядерных сил. 5
- *сбой нумерации, две страницы №5*
- 6) Масштаб энергий, расстояний и времени в яд. физике. 6

II Общие (статич.) свойства ядер.

- 7) Классификация ядер. Заряд и методы эксперем. определения. 6
- 8) Масса ядра. Эксперемент. методы ее изменения. 7
- 8) *окончание 8ого вопроса* 8
- 9) Масса нейтрона. Эксперем метод ее определения. 8
- 10) Энергия связи ядра. Зависимость удельной энерг. св от A (масс числа). 9
- 11) Капельная модель ядра. Полуэмперическая формула Вейцзеккера для вычисления энергии связи ядра. 10
- 11б) Полуэмперическая формула. 11
- 12) Определение стабильного изобара ($A=const$). 12
- 13) Радиус ядра. Эксперем. методы его определения. 12
- 13) *продолжние* 13
- 14) Рассеяние релятивист электронов (Хофштадер). 13
- 14б) Распределение заряда в нуклонах (p, n). 14
- 15) Магнетизм атомов. 14
- 16) Спин и магнит момент ядра. Сверхтонкое рассщепление спектральных линий. 15
- Энергия сверхтонкого расщепления 16
- 17) Магнитный момент нуклона. Систематика магн мом и спинов ядер. 17
- 18) эксперем методы определ магн моментов ядер. 18
- 18а) Метод Штерна-Герлаха. 18
- 18б) Метод Раби, высокочастотный метод, метод магнитного резонанса. 18
- 19) Четность волновых функций ядер. 20
- 20) Распределение заряда в ядре. Квадрат. момент ядра. 21

III Радиоактивность ядер. 24

- 22) альфа-распад. Энергия распада. 25
- 23) Альфа-распад. Механизм, тунельный эффект и закон Гейгера-Неттола. 26
- 24) Бета-превращение ядер. Три вида бета-распада. 28
- 25) Механизм бета-превращений. Примеры. 29
- 26) Характер бета-спектров. Гипотеза нейтрино. 30
- 27) 3-н сохранения. Частицы и анти-частицы. 31
- 28) Эксперементальное определение массы нейтрино. 32
- 29) Прямые доказательства существования нейтрино. 33
- 30) Понятие о механизме бета-превращений. 34
- 31) Не сохранение четности при бета-превращении. 35
- 32) Гамма-излучение ядер. Законы сохранения. 36
- Закон сохранения момента импульса и четность. 38
- 33) Явление внутренней консервации гамма-лучей. 39
- 34) Эффект Мессбауера. 40
- 35) Проверка ОТО. Измерение красного и синего смещения в лоб. усл. 42
- 36) Оболочечная модель ядра. Обоснование модели. 43
- Состав непр. космич. излучения. 45
- Эволюция звезд. 46
- Вторическое космическое излучение. 46
- 39) Типы взаимодействий и клас. элемент. частичц. 47